

## DEMによる一面せん断試験下の粒状体の進行性破壊とダイレイタンシー特性の把握

長崎大学 学生員 ○濱崎 正一 正員 棚橋 由彦  
鳥取大学 正員 西村 強 正員 木山 英郎

### 1.はじめに

不連続体を取り扱う1手法として、カンドル(Cundall,P.A.,1971)の提唱した個別要素法(Distinct Element Method、以下DEMと略称)<sup>1)</sup>がある。この手法は、連続体解析手法では困難であった、砂等の粒状体や亀裂性岩盤など、不連続体の動的挙動を取り扱うのに適している。近年、この特徴を生かし粒状体に関する研究が数多くなされ、その有用性が確認されている。本研究では、この手法を用いて一面せん断試験をモデルとし、粒状体の進行性破壊を観察するとともに、ダイレイタンシー特性について検討する。

### 2. DEMの概要

DEMでは、各要素を剛体とみなし、要素間にフォーカト(Voigt)モデルを挿入することで表現する(図1参照)。これは、要素変位及びそれによって引き起こされる要素間接触力を、運動方程式の時間差分によって各時間毎に追跡していくもので、時間依存の問題に有効である。

### 3. 一面せん断試験

#### 3.1 実験の概要

本実験は、通常の一面せん断試験装置を用いて、球形ガラスビーズ(粒径  $D=3.0\text{mm}$ 、均等係数  $U_c=1$ )のみの定圧一面せん断試験を行った。せん断容器等は、解析との比較を考慮し、表1の様に設定した。なお試料は、比較的密に充填したものと疎なものの2種類とした。

#### 3.2 解析モデル

等粒径円形要素とし、DEMを用いて定圧一面せん断試験を行った。解析を行う際のせん断速度は  $1\text{cm/s}$  で、せん断容器の大きさは底辺  $40\text{cm}$ 、高さ  $20\text{cm}$  の単位幅あたりとした。これは実際の試験装置の  $20/3$  倍であり、先に述べたせん断速度はこの場合  $0.15\text{cm/s}$ (粒径  $3.0\text{mm}$ )となる。DEMに用いた諸定数を表2,3に示す。表3中の※で示す値は、せん断箱のダイレイタンシーに伴う周面摩擦を軽減させるためのものである。

解析過程は、初期配列時に発生する粒子浮遊状態から、静止状態を得た後、所定の上載荷重( $0.1, 0.2, 0.4\text{kgf/cm}^2$ )を載荷し(圧密過程)せん断する(せん断過程)。

#### 3.3 一面せん断試験の結果

##### (a) 実験と解析の比較

実験と解析では、試験装置等の理由からひずみ条件を異にする。したがって、定量的な評価は困難であり、定性的な評価にとどまる。図2は実験( $0.14\text{kgf/cm}^2$ )によるせん断応力、 $\tau$ 、体積ひずみ、 $\varepsilon_v$ と相対変位、 $D$ の関係を示す。図3は、同様に解析結果( $0.1\text{kgf/cm}^2$ )を示したものである。実験結果(図2)に見られる、密な場合の脆性破壊的傾向及び緩い場合の延性破壊的傾向が、解析結果(図3)にもあらわれている。体積ひずみ、 $\varepsilon_v$ は、実験の場合、一般的傾向を顕著に表しているのに対し、解析の場合はそれほど表れてない。しかし、傾向的には等しいと言える。紙面の都合上図は省略するが、体積ひずみ、 $\varepsilon_v$ が応力比、 $\kappa$ により一義的に規定されるという一般の傾向も捉えている。

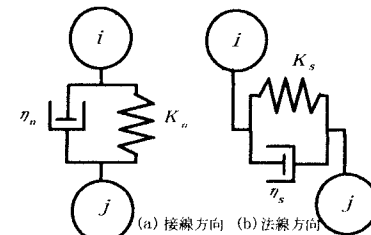


図1 要素間モデル

表1 実験条件

せん断容器	直径 : $6\text{cm}$ 高さ : $3\text{cm}$
せん断速度	$1\text{mm/min}$ ( $0.00167\text{cm/s}$ )
上載荷重	$0.14, 0.28, 0.56\text{kgf/cm}^2$

表2 解析に用いた諸定数<sup>2)</sup>

要素半径, $r$	$1.0\text{cm}$
土粒子の密度, $\rho$	$2.65\text{gf/cm}^3$
ヤング率, $E$	$750\text{kgf/cm}^2$
ポアソン比, $\nu$	0.3

表3 材料間定数<sup>2)</sup>

	粒子間	粒子-境界間
$K_n/\rho g (\text{cm})$	$3.64 \times 10^4$	$7.28 \times 10^4$
$\eta_n/\rho g (\text{cm/s})$	$1.53 \times 10$	$3.06 \times 10$
$K_s/\rho g (\text{cm})$	$0.91 \times 10^4$	$1.83 \times 10^4$
$\eta_s/\rho g (\text{cm/s})$	$0.76 \times 10$	$1.53 \times 10$
$\Delta t (\text{s})$	$1.00 \times 10^{-4}$	
内部摩擦角, $\phi$	$30^\circ$	$45^\circ, 5^\circ$ *

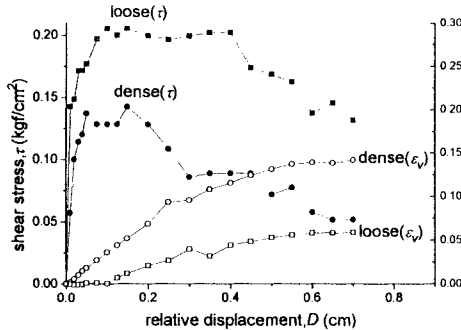


図2  $\tau$ ,  $\epsilon_v$ と  $D$ の関係 (実験結果,  $0.14\text{kgf}/\text{cm}^2$ )

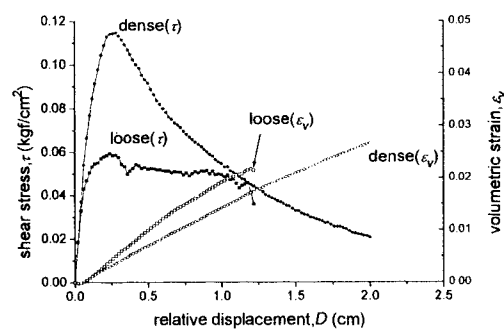


図3  $\tau$ ,  $\epsilon_v$ と  $D$ の関係 (解析結果,  $0.1\text{kgf}/\text{cm}^2$ )

### (b)進行性破壊

図4に密配列 ( $0.1\text{kgf}/\text{cm}^2$ ) の圧密終了時及び相対変位,  $D = 0.4\text{cm}$  每の変形図を示す。せん断が始まるとき図5(図4の黒色要素に対応)の斜線部分の接触力が減少し、さらには消滅する。この過程ですでに、局所的な破壊が生じていると言える。その局所的破壊が内部へ進行せん断面を形成する。

### (c)ダイレイタンシー

せん断変形に伴う体積膨張 (正のダイレイタンシー) は、せん断面形成に関与する粒子の乗り越え量に起因すると言える。ここに乗り越え量とは、図6に示すような粒子  $i$  間にせん断力が作用し、 $i$  が  $j$  を乗り越えるときの変化量,  $d$  のことを指すものとする。完全に乗り越えた場合の  $d$  を  $d_{max}$  とすれば、 $d_{max}$  を静止時の粒子間接触角,  $\alpha$  と粒子半径,  $r$  で表すと、

表4  $d_{max}$  及び膨張量

$$d_{max} = 2r(1 - \cos \alpha)$$

$d_{max}$	0.635cm
膨張量	0.433cm

となる。今仮に疎配列を例として  $d_{max}$  の計算及び解析結果から膨張量を読み取ると表4のようになる。 $d_{max}$  が過大に見積もるのは、上式が1つのせん断面のみで考えているため、内部に生じる収縮現象等を捉えきれないためと考えられる。

### 4.まとめ

本報告で用いた等粒径円形要素の規則配列は、粒状体を取り扱う上で最も単純なモデルであるが、その挙動を十分シミュレートできる。また、(c)に述べたようにダイレイタンシーは、粒状体の充填状態 (間隙、粒子間接触角,  $\alpha$  等) やせん断面発生位置の影響を受ける。したがって、せん断面形成について把握しておくことも必要となる。今後、平面ひずみ試験とそのDEM解析を行い、せん断面の生成過程の把握に努める所存である。

### 参考文献

- 1) Cundall, P.A. : A Computer Model for Simulating Progressive, Large-scale Movements in Blocky Rock Systems, Symp.ISRM, Nancy, France, Proc. Vol.2, pp129~136, 1971
- 2) 木山英郎・藤村 尚・西村 強：せん断モデルを用いた離散剛要素法の材料定数の検討, No.382, pp167~174, 1987

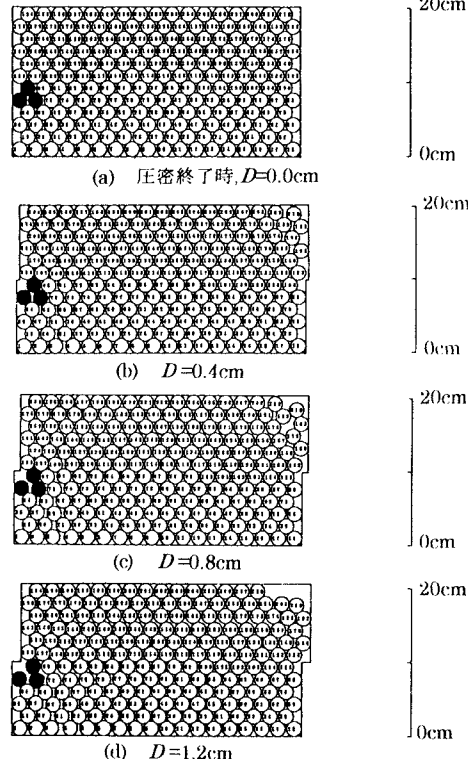


図4 変形図 (密配列,  $0.1\text{kgf}/\text{cm}^2$ )

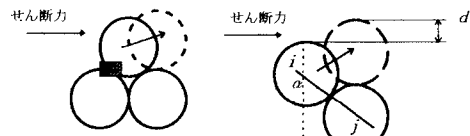


図5

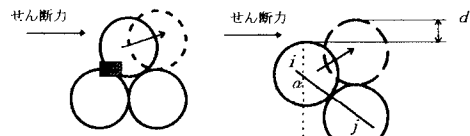


図6